

پنهانی خطر ناپایداری دامنه‌ها با مدل LNRF و GIS در حوضه کلان ملایر

علیرضا ایلدرمی^۱

حیبیه روزبهانی^۲

چکیده

حرکات توده‌ای یکی از مخاطرات طبیعی است که از نظر فراوانی و شدت وقوع موجب خسارت‌های مستقیم از قبیل انسداد راه‌ها و مسیر آبراهه‌ها، تخریب مناطق مسکونی و تأسیسات خدماتی و خسارت‌های غیرمستقیم مانند اثرات مخرب زیست محیطی، هدر رفتن خاک، افزایش رسوبات و کاهش ظرفیت مخازن سدها می‌شود در این تحقیق حوضه سد کلان ملایر در زاگرس همدان با هدف بررسی عوامل مؤثر و شناسایی نواحی مستعد حرکات توده‌ای و تعیین میزان نقش این عوامل در وقوع حرکات توده‌ای تعیین حدود گردیده و در این رابطه عوامل مؤثر در وقوع حرکات توده‌ای همچون لیتوولژی، فاصله از گسل، شیب، سطوح ارتفاعی و میزان بارش انتخاب گردید. سپس با استفاده از نقشه‌های زمین‌شناسی، توپوگرافی و عکس‌های هوایی و با استفاده از سیستم اطلاعات جغرافیایی (GIS) نقشه‌های لایه‌بندی تهیه و مورد تجزیه و تحلیل قرار گرفت از طریق بررسی متغیرهای مؤثر و با استفاده از مدل LNRF^۳ به عنوان ابزار مفهومی با شیوه وزن‌دهی و همپوشانی لایه‌های مختلف عوامل مؤثر شناسایی شدند در نهایت با جمع جبری آن‌ها نقشه پنهانی خطر حرکات توده‌ای با همپوشانی نمودن لایه‌های مختلف تهیه گردید نتایج حاصله نشان داد که در بین عوامل مؤثر به ترتیب عامل لیتوولژی، فاصله از گسل، شیب‌های با ۲۰ تا ۳۰٪ ارتفاع ۲۰۰ تا ۲۳۰۰ متری بیشترین نقش را در وقوع حرکات توده‌ای منطقه دارند به علاوه بررسی‌ها نشان می‌دهد که مدل LNRF کارایی خوبی برای بررسی داده‌ها و پنهانی خود دارد که در حوضه سد کلان دارد. که این موضوع با بررسی‌های میدانی گسترد نیز به خوبی مورد تائید قرار گرفته است.

واژگان کلیدی: حرکات توده‌ای، سد کلان، پنهانی، زاگرس و LNRF.

Email:ildromi@gmail.com

۱- دانشیار گروه مرتع و آبخیزداری دانشگاه ملایر.

۲- کارشناس ارشد ژئومورفوگلوبی.

3- Landslide nominical risk factor



مقدمه

امروزه لزوم برنامه‌ریزی مطلوب در زمینه استفاده از زمین و منابع طبیعی به عنوان یکی از مسائل مهم جوامع بشری مطرح بوده و توجه دانشمندان بسیاری را به خود جلب کرده است. بدون شک شناخت اجزای تشکیل‌دهنده چشم‌انداز طبیعی زمین و فرآیندهای تغییردهنده، قابلیت‌ها، محدودیت‌ها و تأثیر آن بر استفاده مطلوب از زمین، همچنین تأثیرپذیری متقابل آن از نوع کاربری اراضی نقش مهمی در نیل به این برنامه‌ریزی مناسب ایفا می‌کند. با توجه به اینکه می‌توان حرکات توده‌ای را نسبت به سایر مخاطرات طبیعی پیش‌بینی و در صورت برنامه‌ریزی آن را مدیریت نمود، بنابراین در صورت شناخت پتانسیل حرکات توده‌ای در کشور می‌توان استراتژی مناسبی جهت، همزیستی یا مقابله با این پدیده در نقاط مختلف تدوین کرد. خضری و همکاران (۱۳۸۵: ۱۲).

کشورهای چکسلواکی سابق و ایتالیا در زمرة اولین کشورهایی هستند که به‌طور گسترده به مطالعه در این زمینه پرداخته‌اند و از پیشگامان توجه به این پدیده می‌باشند و اقدامات ارزشمند پژوهشگران کشور چکسلواکی در ثبت اطلاعات در زمین‌لغزش از سال (۱۹۶۳) الگویی برای سایر کشورها گردید (شريعت جعفری، ۱۳۷۵). در ایران مطالعات در زمینه پدیده زمین‌لغزش‌ها بسیار جوان و تا قبل از سال ۱۳۶۹ سازمان‌ها به صورت موردی بر حسب نیاز در این زمینه اقداماتی انجام می‌دادند تا اینکه در سال ۱۳۶۹ در پی زلزله رودبار و وقوع زمین‌لغزش‌های متعدد در این منطقه لزوم مطالعه گسترده و مرکز آن احساس شد. (یعقوبی، ۱۳۸۵). گوپتا‌وجوشی^۳ (۱۹۸۹) تحقیقی را با مدل LNRF در حوزه آبخیز رامگانگا هیمالیا به منظور پنهانی بندی مخاطرات زمین‌لغزش انجام دادند. در منطقه نیر به سراب استان اردبیل با هدف مشخص کردن عوامل مؤثر در حرکات توده‌ای با مدل LNRF، عواملی از قبیل: لیتوژوژی، فاصله از گسل، شبیب، سطوح ارتفاعی و میزان بارش را به عنوان مؤثرترین عامل طبیعی انتخاب گردید. با لایه‌بندی داده‌ها با نرم‌افزار GIS و تحلیل داده‌ها با مدل LNRF نقشه پنهانی بندی منطقه را به دست آورده‌اند (سرور و همکاران، ۱۱: ۱۳۹۱).



برای بررسی علل رویداد زمین لغزش حوضه چالکرود استان مازندران از مدل‌های تراکم سطح، ارزش اطلاعاتی، LNRF بعنوان ابزار مفهومی و متغیرهای مؤثر در وقوع زمین‌لغزش به روش تحلیلی مورد تجزیه و تحلیل قرار داده است. (شادرف و همکاران، ۱۳۹۰: ۱). در بررسی زمین لغزش‌های حوزه آبخیز سد اکباتان ابتدا با تحلیل مورفومنtri و خصوصیات هندسی آن‌ها ضمن تأیین موقعیت لغزش‌ها بر اساس طبقه‌بندی جريان ناپایداری دامنه‌ها مشخص و رسوب تولیدی از آن‌ها با روش EPM برآورد شده است در این بررسی شبیه، ارتفاع، ليتولوژي و بارش مهم‌ترین عوامل در رخداد زمینه لغزش‌ها بوده‌اند (ایلدرمی، ۱۳۹۰: ۲۳). بررسی علل رویداد زمین لغزش و ارزیابی میزان وقوع این پدیده از طریق مدل‌های ریاضی و کمی در جاده هراز از امازاده هاشم تا لاریجان است. برای شناخت دستیابی به هدف شناخت عوامل مسبب و تشديك‌کننده لغزش، ابتدا عوامل مؤثر از قبيل، شبیه، جهت شیب، ليتولوژی، گسل، فاصله از جاده، كاربری زمین بررسی شده و نقشه‌ها را با نرم‌افزار ILWIS تهیه نموده و با مدل NRFL وزن‌دهی و مقادیر وزنی بهدست آوردن. در نهايیت با اعمال نقشه‌های وزنی در مدل، نقشه پهنه‌بندی زمین لغزش منطقه مورد مطالعه را تهیه کردند (رنجبر و افتخاری، ۱۳۹۱: ۱۱). در منطقه دوهزار تنکابن با روش پیمایشی و مشاهداتی با استفاده از عکس‌های هوایی، ماهواره‌ای و نقشه‌های توپوگرافی و زمین‌شناسی شناخت مهم‌ترین عوامل تأثیرگذار بر لغزش منطقه را مورد مطالعه قرار داد. نتایج آب و زلزله را سبب ایجاد زمین لغزش نشان می‌دهد (متولی، ۱۳۹۰: ۷۰). نقشه‌های عامل لغزش در حوزه صوفی چای مراغه تهیه و با تلفیق لایه‌ها، نقشه پهنه‌بندی لغزش تهیه گردیده و با جمع‌بندی امتيازهای هر واحد، واحد آبرفت‌های کواترنری عمده‌ترین عامل زمین لغزش تعیین گردید (روستایی، همکار، ۱۳۹۱: ۱۱). مطالعه (کوماج^۵: ۲۰۰۶: ۱۷) با ارزیابی استعداد زمین لغزش در اسلوونی مرکزی مرتبط بود. برمبانی نتایج آماری چندین مدل استعدادسنجی زمین‌لغزش با استفاده از روش تحلیل فرایند سلسله مراتبی (AHP) توسعه یافت. كارآيی چهار روش ارزش اطلاعاتی، تراکم سطح، تحلیل سلسله‌مراتبی و روش پیشنهادی گوپتا و جوشی برای پهنه‌بندی خطر زمین لغزش در حوضه آبخیز زنگوان استان ايلام را مورد

ارزیابی قرار دادند و به این نتیجه رسیدند که روش ارزش اطلاعاتی کارائی بهتری نسبت به سایر روش‌ها در پهنه‌بندی خطر زمین لغزش در حوضه مورد مطالعه دارد. (نادری^۶ و همکاران، ۲۰۱۰). بر مبنای سامانه اطلاعات جغرافیائی و با استفاده از روش‌های تحلیل سلسه‌مراتبی و آماره دومتغیره، نقشه حساسیت زمین لغزش برای منطقه Ardesen ترکیه تهیه گردید و به این نتیجه رسیدند که معیارهای سنگ‌شناسی، هوازدگی، کاربری زمین و شبیه مهمنترین عوامل مؤثر در بروز زمین لغزش در منطقه هستند، همچنین بر اساس نتایج بهدست آمده، روش تحلیل سلسه‌مراتبی به عنوان مناسب‌ترین مدل معرفی شد (یلسين^۷، ۲۰۰۸: ۱). لغزش‌های رخداده در آزادراه خرم‌آباد-پل‌زال با هدف مشخص عوامل موثر و تشدید‌کننده مورد مطالعه و بررسی قرار گرفته و ابزارهای پژوهش نقشه‌های توپوگرافی، زمین‌شناسی و...، عکس‌های هوایی، تصاویر ماهواره‌ای IRS(PAN) و دستگاه موقعیت‌یاب جهانی (GPS)، جهت برداشت نقاط لغزشی جاده به عنوان ابزار فیزیکی و نرم‌افزارهای WMS، Arc gis، Envi، Fuzzy Liner (Fuzzy Liner)، ... و مدل‌های ارزش اطلاعاتی، فازی خطی (AHP) و مدل اقلیمی پلتیر (Peltier) به عنوان ابزارهای مفهومی تحلیل سلسه‌مراتبی (AHP) تشکیل داده است. مقایسه نتایج بهدست آمده از ارزیابی مدل‌ها، بیانگر آن است که مدل فازی-AHP در محدوده مورد مطالعه نتایج واقعی‌تری نسبت به مدل ارزش اطلاعاتی در رابطه با پراکنش و تراکم زمین لغزش‌ها با استفاده از تلفیق لایه‌های اطلاعاتی نشان می‌دهد (رحمتی، ۱۳۹۱: ۱). در جلسیان تنکابن پس از تعیین وسعت و درصد زمین لغزش‌ها در طبقات عوامل به کمک مدل‌های LNRF، ارزش اطلاعات کمی و تراکم سطح، نقشه‌های پهنه‌بندی خطر بهترین مدل را بهدست آورد. ارزیابی مدل‌ها با حوضه معرف بیانگر آن است که مدل تراکم سطح نسبت به مدل‌ها دیگر ارقام صحیح‌تری را نشان می‌دهد (موسی‌پور، ۱۳۸۶: ۱). در بررسی دیگر (شارما، ۲۰۰۸: ۱) نقش و تاثیر بارندگی را به عنوان یک عامل هیدرولوژیکی مهم در رخداد زمین لغزش‌های سطحی حوزه‌های آبخیز بررسی و مورد ارزیابی قرار داده و رابطه این عامل را با مخاطرات محیطی رخداد لغزش به صورت مدل بیان نموده است.

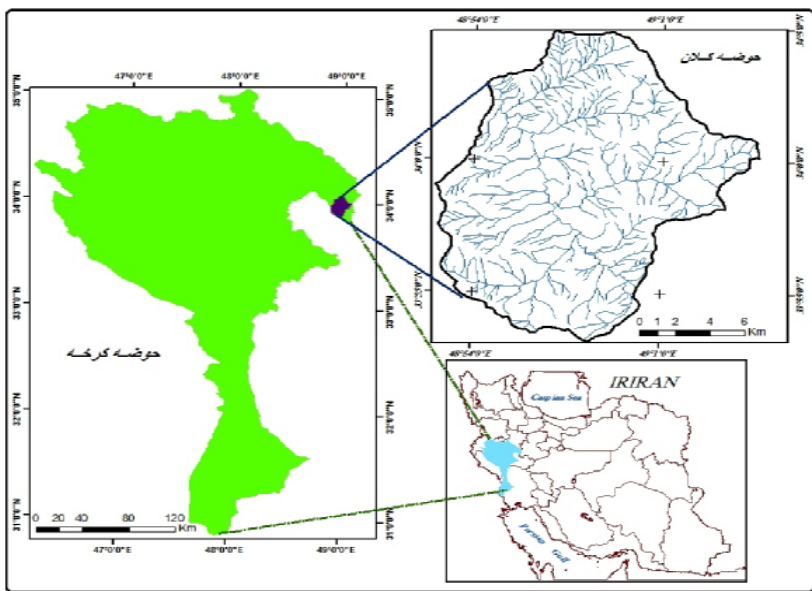
6- Naderi. F
7- Yelcin. A



بررسی و مطالعه حرکات توده‌ای به منظور شناسایی نواحی مستعد و شناخت عوامل مؤثر در وقوع آن جهت مدیریت صحیح این اراضی به منظور پیشگیری از وقوع و ایجاد خسارات، دارای اهمیت زیادی می‌باشد. ناپایداری دامنه‌ها بر اثر حرکات توده‌ای از جمله مخاطرات طبیعی است که موجب خسارات ملی جانی و تخریب منابع طبیعی فراوان در کشور می‌گردد. فرسایش خاک، تهدید مناطق مسکونی، زراعی و جاده‌ها، پر شدن مخازن سد... از جمله مواردی است که در نتیجه وقوع انواع حرکات توده‌ای اتفاق می‌افتد. به همین دلیل مطالعه حرکات توده‌ای در دنیا از اهمیت خاصی برخوردار است.

منطقه مورد مطالعه

حوضه سد کلان ملایر با جهت جنوب‌شرقی - شمال‌غربی در جنوب‌شرقی ملایر، با مساحت ۲۳۹۵۹،۱۴ کیلومتر در محدوده بین "۴۸۰۵۳" تا "۴۹۰۰۴" و در بین "۳۳۰۵۲" تا "۳۳۰۰۴" عرض شمالی قرار گرفته است. رودخانه اصلی حوضه مورد مطالعه از سرشاخه‌های حوضه گاماسیاب بوده و با پیوستن به سمیره و رودخانه بزرگ کرخه و نهایتاً به خلیج فارس می‌ریزد (مهندسان مشاور بند آب، سد کلان ملایر-۱۳۸۳). شکل (۱). ارتفاع متوسط منطقه ۲۱۷۸/۴ متر و از لحاظ زمین‌شناسی در زون سنتنچ - سیرجان واقع گردیده است (نقشه زمین‌شناسی ملایر-۱۳۷۹). از نظر طبقه‌بندی اقلیمی به روش آمربزه از نوع اقلیم نیمه‌سرد و خشک و رژیم بارندگی مدیترانه‌ای در منطقه حاکم است، متوسط بارندگی سالانه در ایستگاه ملایر ۳۲۰/۳ میلی‌متر، بیشترین بارندگی فصلی در بهار با (۳۶/۱) درصد است. نزولات جوی از اوخر آبان تا اوخر اسفند به صورت برف و تعداد روزهای یخبندان ۸۷/۳ روز در سال است متوسط دمای سالانه ۱۱/۷ درجه سانتی‌گراد، متوسط حداقل مطلق دما در ماه بهمن (-۱۲) درجه سانتی‌گراد و متوسط حداکثر مطلق دما در ماه مرداد (۳۷/۳) درجه سانتی‌گراد است.



شکل (۱) موقعیت حوضه سد کلان ملایر

مواد و روش‌ها

این تحقیق، با استناد به مطالعات میدانی و کتابخانه‌ای و روش تحلیلی انجام شده و مراحل تحقیق آن به شرح زیر انجام گرفته است:

پس از جمع‌آوری و بررسی اطلاعات موجود شامل مقالات، کتب، گزارشات و نقشه‌ها و به منظور پنهان‌بندی حرکات‌توده‌ای ابتدا با استفاده از نقشه‌های توپوگرافی به مقیاس ۱:۲۵۰۰۰ و ۱:۵۰۰۰۰، زمین‌شناسی به مقیاس ۱:۱۰۰۰۰۰ و تفسیر عکس‌های هوایی به مقیاس ۱:۲۰۰۰۰ و ۱:۵۰۰۰۰، حرکات‌توده‌ای رخداده در منطقه به تعداد ۱۷ مورد، شناسایی و موقعیت آن‌ها بر روی نقشه توپوگرافی ثبت و، نقشه پراکنش حرکات‌توده‌ای به صورت رقومی و به عنوان نقشه پایه تهیه گردید (شکل ۲). با بازدیدهای میدانی داده‌های به دست آمده در منطقه مورد وارسی قرار گرفت. همچنین برای سهولت در تجزیه و تحلیل داده‌ها از بین عوامل مؤثر بر حرکات‌توده‌ای متغیرها در قالب سیستم اطلاعات جغرافیایی (GIS) با



استفاده از نرم‌افزار ArcGIS9.3 رقومی و تهیه شد.

نقشه‌های لیتولوژی و فاصله از گسل با استفاده از نقشه زمین‌شناسی منطقه در محیط نرم‌افزار ترسیم گردید. برای نقشه فاصله از گسل، از گسل‌های موجود در منطقه، فاصله گسل در طبقات ۱۰۰۰ متری در چهار طبقه تهیه گردید.

نقشه‌های شبیب، جهت شبیب و سطوح ارتفاعی منطقه مورد مطالعه با استفاده از نقشه توپوگرافی و DEM منطقه مورد مطالعه در محیط GIS به دست آمدند.

نقشه شبکه آبراهه‌ها با فاصله ۲۰۰ متر در محیط نرم‌افزار بافریندی و به چهار طبقه تقسیم شد.

برای بررسی رابطه بین بارندگی و حرکات توده‌ای، نقشه میزان بارش حوضه از آمار ایستگاه‌های بارانسنجی موجود پیرامون حوضه مورد مطالعه استفاده گردید. و از طریق مدل Spherical Kriging و از روش ArcGIS درون‌یابی، خطوط همبارن تهیه گردید. و همچنین نقشه سطوح همبارن حوضه از نقشه DEM منطقه در طبقه تهیه گردید، نقشه پوشش گیاهی، از سازمان جنگل‌ها، مراتع و آبخیزداری کشور تهیه و در تحقیق حاضر مورد استفاده گردید.

نقشه‌های عامل با نقشه پراکنش حرکات توده‌ای تلفیق گردیده و با استفاده از مدل $LNRF^A$ وزن هر واحد محاسبه و نقشه‌های وزنی برای هر یک از عوامل تهیه گردید.

به منظور تجزیه و تحلیل داده‌ها با استفاده از مدل مربوطه و رابطه ۱، میزان خطر و قوع زمین لغزش‌ها در منطقه مشخص شده است.

$$LNRF = \frac{A}{E} \quad (1)$$

که در آن:

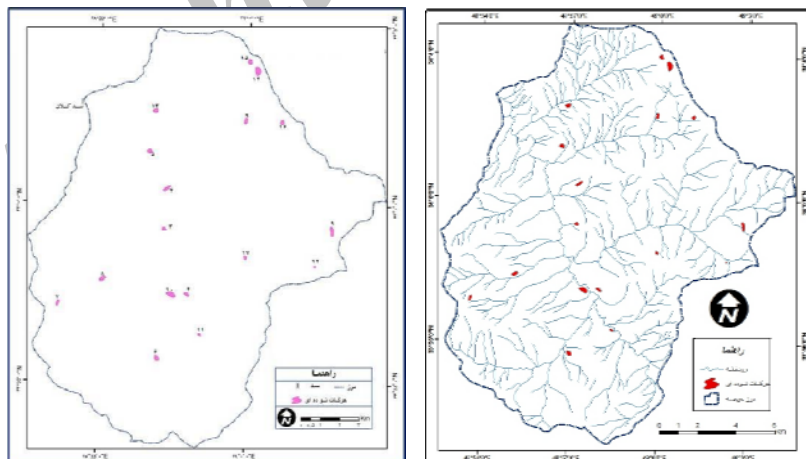
سطح حرکات توده‌ای رخداده در یک واحد (A)

میانگین حرکات توده‌ای رخداده در کل واحدها (E)

به طوری که از رابطه فوق، با استفاده سطح لغزش‌های رخداده در هریک از واحدهای همگن از نظر مقادیر عوامل مؤثر در زمین لغزش و تقسیم آن بر سطح میانگین وقوع زمین لغزش در کل واحدها اقدام به تهیه شاخص تعیین میزان خطر وقوع زمین لغزش می‌شود. در این رابطه وزن هر یک از واحدهای همگن محاسبه شده و نقشه وزنی هریک از عامل‌ها تهیه و به سه طبقه ($\text{کم} = \text{صفرا} = ۰$ و $\text{زیاد} = ۲$) وزن دهی می‌شود. (جدول ۱) در خاتمه با جمع جبری نقشه‌های وزنی، نقشه پهنه‌بندی ناپایداری دامنه‌ها، براساس میزان خطرپذیری حوضه با درجه ناپایداری بسیار زیاد، ناپایداری زیاد، ناپایداری متوسط، ناپایداری کم، و پایدار تهیه و طبقه‌بندی گردید.

جدول (۱) تعیین مقادیر وزنی براساس وسعت حرکات توده‌ای در روش LNRF

ردیف	ضریب حداقل	ضریب حداکثر	LNRF		دامنه تغییرات LNRF	Weight	ناپایداری
			LNRF < ۰/۶۷	۰/۶۷ < LNRF < ۱/۳۳			
۱	۰/۶۷	۰	کم	۰			
۲	۰/۶۷	۱/۳۳	متوفی	۱			
۳	۱/۳۳	۱/۳۳ <	زیاد	۲			



شکل(۲)ا- نقشه پراکنش حرکات توده‌ای

جدول (۲) محل و وسعت حرکات توده‌ای در حوضه کلان ملایر

ردیف	نام محل وقوع حرکات توده‌ای	مساحت		ردیف	نام محل وقوع حرکات توده‌ای	مساحت	
		درصد	Km ²			درصد	Km ²
۱	هفت‌تپه	۶۱۲،۱۴	۸.۴	۱۰	امامزاده عباس	۸۶۶،۴۲	۱۱.۹
۲	کله	۳۰۶،۸۵	۴.۲	۱۱	گونستان	۱۴۴،۰۵	۲
۳	-	۲۶۷،۳۹	۳.۷	۱۲	-	۷۷،۵۳	۱۰.۱
۴	-	۴۵۹،۰۷	۶.۳	۱۳	امامزاده خاتون	۴۰۰،۳۲	۵.۵
۵	بیاتون	۴۱۹،۴	۵.۷	۱۴	کوه گردنل	۱۰۰۱،۹۹	۱۳.۷
۶	دودانگه	۴۷۳،۵۹	۶.۵	۱۵	کوه گردنل	۴۲۱،۱۶	۵.۸
۷	کوه سرده	۳۳۷،۶۱	۴.۶	۱۶	کوه کیس	۳۳۰،۰۳	۴.۵
۸	قپانوری	۵۴۴،۳۳	۷.۵	۱۷	دره مراد	۲۳۳،۳۲	۳.۲
۹	دره راست	۴۰۰،۴۵	۵.۵		جمع	۷۲۹۶،۰۵	۱۰۰

یافته‌ها و بحث

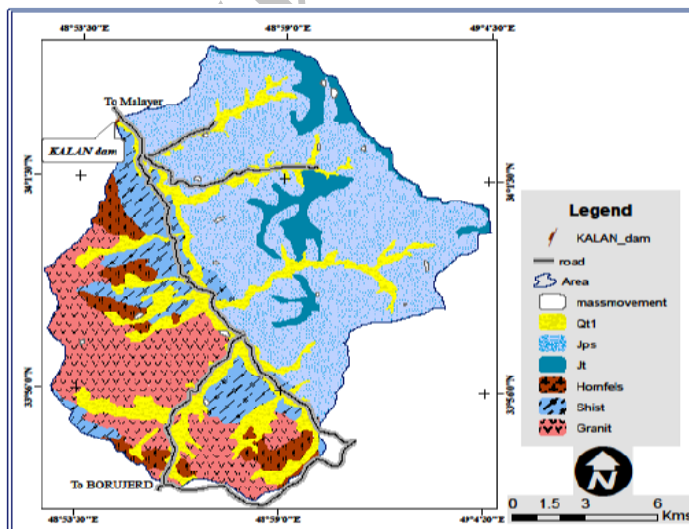
از آنجایی که در وقوع حرکات توده‌ای عوامل متعدد طبیعی و انسانی نقش دارند در این تحقیق برای سهولت تجزیه و تحلیل داده‌ها از بین عوامل مؤثر بر حرکات توده‌ای متغیرهای لیتوژوژی، فاصله از گسل، شیب، سطح ارتفاعی، جهت شیب، فاصله از رودخانه، پوشش گیاهی و میزان بارش انتخاب و با استفاده از مدل LNRF وزن دهنی و ارزش هر یک در وقوع این پدیده به اثبات رسید.

عامل لیتوژوژی

نوع سازندها و لیتوژوژی، یکی از عوامل تأثیرگذار بر وقوع حرکات توده‌ای می‌باشد. با توجه به نقشه زمین‌شناسی حوضه (شکل ۳) لیتوژوژی متفاوتی در حوضه ملاحظه می‌شود که در شرایط اقلیمی و ارتفاعی عملکردهای متفاوتی در وقوع حرکات توده‌ای نشان می‌دهند. واحد سنگی فیلت، اسلیت و شیست (Jst و Jph) که به اسلیت‌های ملایر و همدان شهرت دارند، با مساحت ۴۴ درصد از کل حوضه بیشترین رخنمون‌های سنگی حوضه را داراست، جدول (۳). در این واحد با تزریق توده‌های بزرگ گرانیتی بروجرد با ترکیب گرانیتی تا گرانودیوریتی در میان اسلیت‌های سیاه موجب شکل‌گیری هاله دگرگونی گردیده است.



عمده تشکیلات این واحد فیلیت، اسلیت، شیست و ماسه سنگی دگرگونه محلی است. واحد رسوبات آبرفتی شامل نهشته‌های آبرفتی قدیم و جدید است. در این واحد به علت فعالیت‌های زیستی (انسانی، گیاهی و جانوری) افزایش قطر خاک از جمله خاک رس و آبرفت‌ها جذب آب‌های نزولات جوی، سطحی و زیرزمینی در برابر وقوع حرکات توده‌ای حساسیت بیشتری دارد. سنگ‌های دگرگونی همبُری با نفوذ سنگ‌های کوارتزدیوریتی شروع و به هورنفلس‌های متراکم به صورت ماسه‌ای در حاشیه سنگ‌های گرانیتی ختم می‌شود. هرچه از توده نفوذی دورتر می‌شویم به تدریج شیستوزیتی در آن‌ها ظاهر می‌گردد و به صورت هورنفلس، شیست آندالوزیت‌دار و در نهایت به شیست لکه دار تبدیل می‌گردد. (نقشه زمین‌شناسی ملایر-۱۳۷۹) این واحد سنگی بخش غربی حوضه را کاملاً در برگرفته و در برابر فرسایش حرکات توده‌ای مقاوم است. واحد Jt شامل سنگ‌های ماسه‌سنگ توفی، ماسه‌سنگ دگرگونه، اسلیت خاکستری تیره است و تنها ۶/۵ درصد از کل مساحت حوضه را دارد. و با فرسایش پذیری کم در برابر حرکات توده‌ای نیز حساسیت کمتری دارد. بر این اساس با استفاده از مدل LNRF مقادیر ارزشی لیتولوژی و وزن هر یک از واحدهای مربوطه تعیین گردیده است (جدول ۳).



شکل (۳) نقشه لیتولوژی حوضه کلان ملایر

جدول (۳) مساحت حرکات توده‌ای در واحدهای لیتولوژی و محاسبه وزن هر سطح

لیتولوژی	مساحت واحد (km^2)	درصد واحد	لغزش رخداده در واحد	درصد لغزش رخداده در واحد	LNRF	Weight
رسوبات آبرفتی	۳۹۵۹۱۶	۱۶.۵	۲۱۱۸	۲۹	۱.۷۴	۲
فیلیت، اسلیت و شیل	۱۰۵۳۸.۲۵	۴۴	۲۲۲۹	۳۲.۹	۱.۹۲	۲
ماسه سنگ توفی	۱۵۴۸.۳۳۴	۶.۵	۱۴۲۳	۱۹.۵	۱.۱۷	۱
شیست	۲۳۱۶.۹۰۶	۹.۷	۴۷۴	۶.۵	۰.۳۹	۰
گرانیت	۴۳۳۳.۱۴۹	۱۸.۱	۳۳۸	۴۶	۰.۲۸	۰
هورنفلس	۱۲۶۴.۳۷۲	۵.۳	۵۴۴	۷.۵	۰.۴۵	۰
جمع	۲۳۹۵۹.۱۴	۱۰۰	۷۲۹۶	۱۰۰		

فاصله از گسل

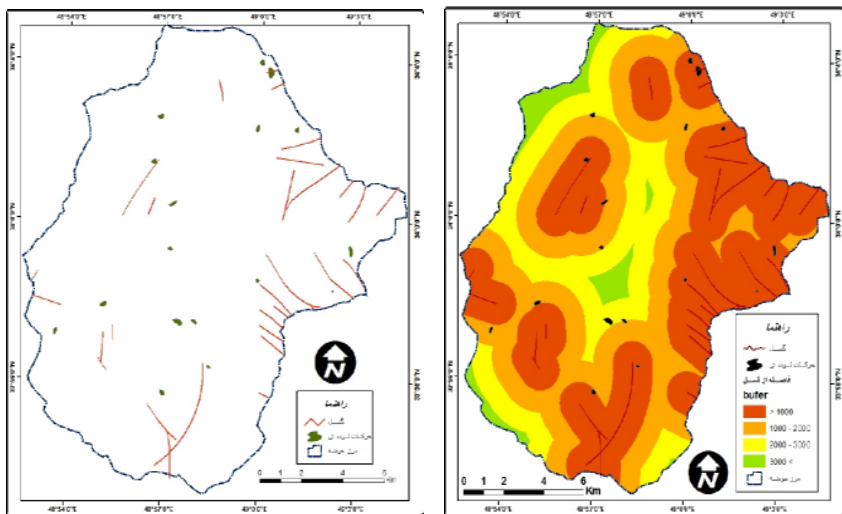
با توجه به اینکه مسیر گسل‌های بالقوه، بر نقاط ناپایدار زمین می‌باشند و همچنین به دلیل ایجاد گسیختگی در دامنه‌ها و ایجاد شکستگی در لایه‌ها و خردشگی توده‌های سنگی عموماً در مسیر گسل‌ها سیستمی از درز و شکاف‌ها ایجاد می‌گردد و در نتیجه نفوذ آب به داخل زمین موجب کاهش مقاومت برشی دامنه می‌گردد (یعقوبی، ۱۳۸۵: ۱۲۵). تأثیر گسل‌ها بر حرکات توده‌ای به صورت‌های مختلفی است:

رویداد زلزله در نزدیکی گسل‌ها دارای شدت بیشتری است.

تأثیر گسل‌ها در خردشگی سنگ‌های پیرامون، این خردشگی باعث لغزش‌های سنگی در مناطق با شیب متوسط می‌شود.

نفوذ بیشتر آب در درون این مناطق خردشده که باعث بالا رفتن سطح آب زیرزمینی و فشار آب منفذی می‌شود (حایری، ۱۳۷۵: ۳۴).

در حوضه مورد مطالعه حرکات تکتونیکی نقش تشدید و تسریع کننده‌ای در وقوع حرکات توده‌ای دارند. با توجه به شکل (۴) و جدول (۴) ملاحظه می‌شود وقوع حرکات توده‌ای با فاصله از گسل رابطه مستقیم دارد.



شکل ب (۴) نقشه گسل‌های حوضه

شکل الف (۴) نقشه فاصله از گسل

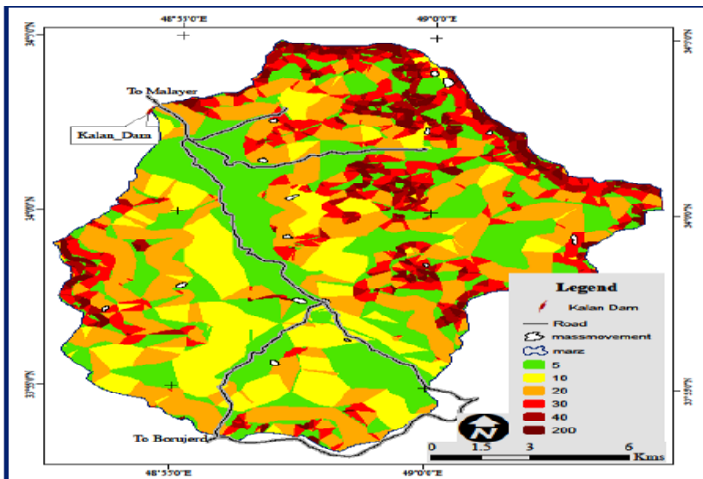
جدول (۴) مساحت وقوع حرکات توده‌ای در فاصله از گسل و محاسبه وزن هر سطح

فاصله از گسل	مساحت واحد (km^2)	درصد واحد	لغزش رخداده در واحد	درصد لغزش رخداده در واحد	<i>LNRF</i>	Weight
> 1000	1,0374,35	43,3	4173	57,2	2,29	2
1000 - 2000	7788,27	32,51	2021	27,7	1,11	1
2000 - 3000	4795,83	20,02	1101	15,1	0,40	0
3000 <	1000,69	4,18	0	0	0,00	0
جمع	23595,14	100	7296	100		

تبیین

شیب از عوامل مهم اصلی آماده گسیختگی دامنه بهشمار می‌رود. افزایش شیب وضعیت تعادل مواد سازنده‌ای دامنه‌ها را بر هم زده و موجب بالا رفتن تنشه‌های برشی در دامنه‌ها شده و به تبع آن باعث وقوع حرکات توده‌ای می‌گردد (حایری، ۱۳۷۵: ۳۵). حرکات دامنه زمانی اتفاق می‌افتد که زاویه شیب از زاویه سکون مواد بیشتر گردد. در حوضه مورد مطالعه ۵۰ درصد از مساحت شیبی کمتر از ۱۵ درصد را دارند. اغلب حرکات توده‌ای در طبقه شیب

۲۰ تا ۳۰ درصد اتفاق افتاده است، شکل (۵) و جدول (۵). در این طبقات با جذب آبهای سطحی رطوبت خاک افزایش یافته و با رسیدن به حد سیلانی در دامنه‌ها حرکت می‌کند.



شکل (۵) نقشه شبیه حوضه کلان ملایر

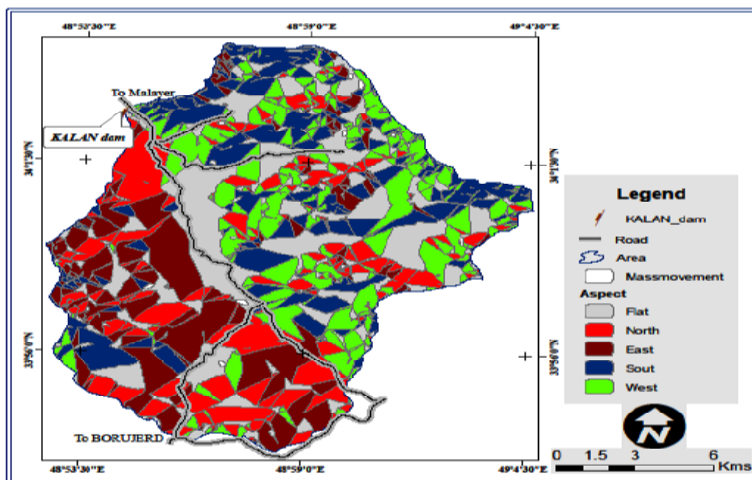
جدول (۵) مساحت حرکات توده‌ای در طبقات شبیب و محاسبه وزن هر سطح

طبقات شبیب	مساحت واحد (km^2)	درصد واحد	مساحت لغزش رخداده در واحد	درصد لغزش رخداده در واحد	LNRF	Weight
۰ - ۵	۶۶۸۵,۱۲	۲۷,۹	۱۴۹۰	۲۰,۴۲	۱,۲۳	۱
۵ - ۱۰	۵۰۵۲,۵۲	۲۱,۱	۱۳۵۹	۱۸,۶۳	۱,۱۲	۱
۱۰ - ۲۰	۷۴۳۳,۶۷	۳۱,۰۳	۲۴۹۷	۳۴,۰۲	۲,۰۵	۲
۲۰ - ۳۰	۲۸۹۵,۱۵	۱۲,۰۸	۱۸۰۷	۲۴,۷۷	۱,۴۹	۲
۳۰ - ۴۰	۱۲۴۰,۴۱	۵,۱۸	۱۴۳	۱,۹۶	۰,۱۲	۰
۴۰ <	۶۵۲,۳۲	۲,۷۲	۰	۰	۰	۰
	۲۳۹۵۹,۱۴	۱۰۰	۷۲۹۶	۱۰۰		

جهت شبیب

جهت شبیب از دیگر عوامل تعیین‌کننده وقوع حرکات توده‌ای می‌باشد که می‌توان گفت جهت‌های مختلف جغرافیایی عملکرد متفاوتی در وقوع این حرکات دارند. در حوضه مورد

مطالعه بیشترین حرکات در دامنه‌های روبه جنوب رخداده است. دامنه‌های رو به غرب تأثیر متوسطی در موقع حرکات دارند. این مسأله را می‌توان مرتبط به نوع سازندهای منطقه دانست و از سوی دیگر این دامنه‌ها به علت عدم انباشت طولانی مدت برف و تبدیل سریع آن به رواناب استعداد بیشتری برای وقوع حرکات را فراهم می‌کند شکل (۶).



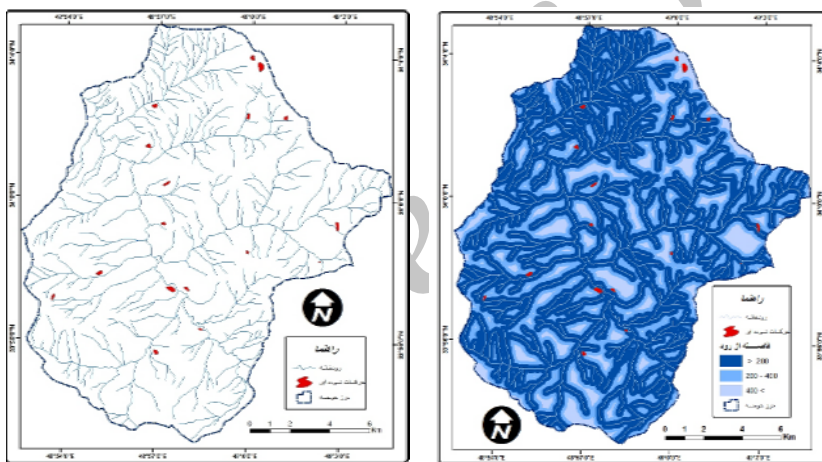
شکل (۶) نقشه جهت شیب حوضه کلان ملایر

جدول (۶) مساحت حرکات توده‌ای در طبقات جهت شیب و محاسبه وزن هر سطح

جهت شیب	مساحت واحد (Km^2)	مساحت به درصد	زمین لغزش (Km^2)	رخداده	زمین لغزش به درصد	LNRF	Weight
هموار	۵۳۴۰.۵۸	۲۲.۳	۲۹۳۱	۴۰.۱۷	۲۰۱	۲	
شمال	۴۷۳۱.۶	۱۹.۷	۸۲۶	۱۱.۳۲	۰.۵۷	۰	
شرق	۴۸۸۹.۱	۲۰.۴	۸۴۵	۱۱.۵۸	۰.۵۸	۰	
جنوب	۴۶۰۰.۲۳	۱۹.۲	۱۵۰۴	۲۰.۶۱	۱۰۳	۲	
غرب	۴۳۹۷.۴۱	۱۸.۶	۱۱۹۰	۱۶.۳۱	۰.۸۲	۱	
جمع	۲۳۹۵۹.۱۴	۱۰۰	۷۲۹۶	۱۰۰			

فاصله از رودخانه

با مطالعه شبکه آبراهه‌های حوضه مورد مطالعه نتایج نشان می‌دهد که وقوع حرکات توده ای با شبکه آبراهه‌ها رابطه عکس دارد. همپوشانی لایه فاصله از رودخانه با لایه حرکات توده‌ای در مدل LNRF بیان می‌کند که طبقه کمتر از ۴۰۰ متر از رودخانه بیشترین وزن را دارد. شکل (۷) این عامل با برداشت تکیه‌گاه‌های جانسی رودخانه براثر فرسایش و تغییر مسیر کانال‌های آبی توسط انسان جهت و زاویه شب دامنه‌ها تغییر می‌کند و علاوه بر این نفوذ بیشتر آب از طریق کانال‌ها به لایه‌های حساس موجب سنگینی وزن آن می‌شود.



شکل (۷) ب نکشه فاصله از رودخانه

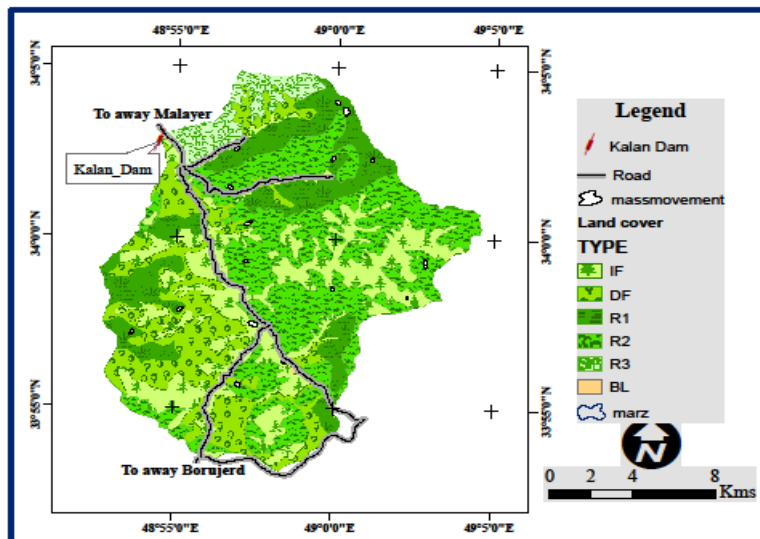
شکل (۷) الف نکشه فاصله از رودخانه

جدول (۷) مساحت حرکات توده‌ای در طبقات فاصله از رودخانه و محاسبه وزن هر سطح

فاصله از رود	مساحت واحد (Km^2)	مساحت به درصد	زمین لغزش رخداده (Km^2)	زمین لغزش رخداده به درصد	LNRF	Weight
>۲۰۰	۱۵۳۰.۵۸	۶۳.۹	۳۱۶۱	۴۳.۳	۱.۷۳	۲
۲۰۰-۴۰۰	۶۹۶۶.۲۶	۲۹.۱	۲۷۱۸	۳۷.۳	۱.۴۹	۲
۴۰۰-۶۰۰	۱۴۷۴.۶۶	۶.۲	۵۲۱	۷.۱	۰.۲۹	۰
۶۰۰-<	۲۱۲۹.۸۴	۰.۹	۸۹۵	۱۲.۳	۰.۴۹	۱
جمع	۲۳۹۵۹.۱	۱۰۰	۷۲۹۶	۱۰۰		

پوشش گیاهی

اثرت پوشش گیاهی در پایداری شیب‌ها بستگی به شرایط محلی، عمق خاک، شیب دامنه، نوع گیاهان، وضعیت خرد شدگی سنگ‌ها و آب و هوا دارد. پوشش گیاهی در بعضی مواقع عامل پایداری و در شرایطی، محرک ناپایداری دامنه‌ها است. ریشه گیاهان به وسیله جذب بخشی از آب زیرزمینی به خشک کردن شیب و افزایش پایداری کمک می‌کند. و در شرایطی با نفوذ آب به قشر زیرین خاک موجب مرطوب و سیلانی شدن خاک دامنه‌ها از جمله خاک رس شده و حرکت توده خاک بر دامنه‌ها می‌شود. همان‌گونه که در (جدول ۸) و (شکل ۸) ملاحظه می‌گردد اراضی با تراکم بیش از ۵۰ درصد R1 و با ۱۷/۲ درصد از مساحت کل حوضه، ۴۴،۱ درصد از مساحت کل حرکات توده‌ای را شامل می‌شود. این رقم می‌تواند بیانگر بهره‌برداری غیراصولی از اراضی در منطقه باشد. در حالی که اراضی مرتعی با تراکم پوشش ۵-۲۵ درصد R3 با مساحت ۱/۵ درصد از کل حوضه حرکات توده‌ای رخ نداده است و در اراضی بدون پوشش و بیرون‌زدگی سنگی BL با مساحت تنها ۰/۲ درصد از کل حوضه ۲ درصد از حرکات توده‌ای در این اراضی رخداده است.



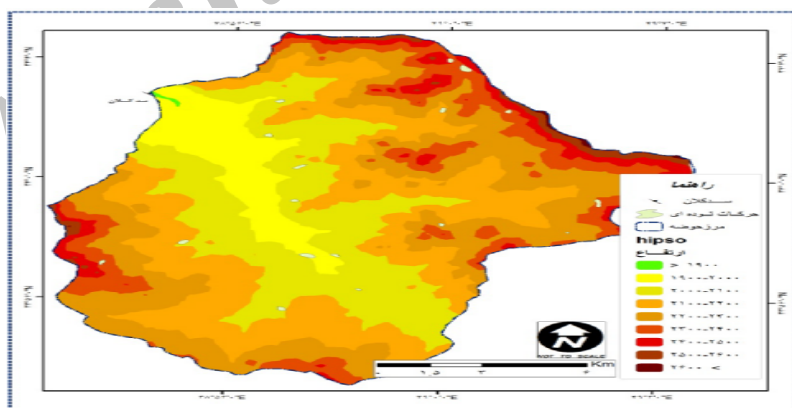
شکل (۸) نقشه تراکم پوشش گیاهی حوضه کلان مالیر

جدول (۸) مساحت حرکات توده‌ای در تراکم پوشش گیاهی و محاسبه وزن هر سطح

پوشش گیاهی اختصاری	علام	مساحت واحد (Km ²)	مساحت به درصد	زمین لغزش رخداده (Km ²)	زمین لغزش رخداده به درصد	LNRF	Weight
باغ و زراعت آبی	IF	۵۸۱۹،۰۷۳	۲۴	۱۰۱۱	۱۳.۹	۰.۸۰	۱
زراعت دیم	DF	۴۸۱۴،۰۱۷	۲۰،۱	۳۹۵	۵.۴	۰.۳۱	۰
مراتع < %۵۰	R1	۴۱۱۴۶۵	۱۷.۲	۲۲۱۷	۴۴.۱	۲.۵۵	۲
%۵۰ تا %۲۵	R2	۷۹۴۶،۱۲	۳۳.۲	۲۵۲۹	۳۴.۷	۲.۰۱	۲
%۲۵ تا %۵	R3	۱۲۲۳۵۷	۵.۱	۰	۰	۰.۰۰	۰
فاقد پوشش گیاهی	BL	۴۰.۵	۰.۲	۱۴۴	۲	۰.۱۱	۰
		۲۳۵۹۵۹،۰۱۴	۱۰۰	۷۲۹۶	۱۰۰		

سطح ارتفاعی

ارتفاع از سطح دریا معرف تغییرات و نوسانات اقلیمی است. به دلیل اختلاف میزان انرژی که هر نقطه زمین از خورشید دریافت می‌کند، متفاوت است. تغییرات ارتفاع می‌تواند تأثیر بسزایی بر سه عامل دما، بارش و رطوبت بگذارد (خضری، ۱۳۸۵). سطوح ارتفاعی حوضه از ۱۸۹۰ متر در خروجی حوضه تا ۲۶۷۸ متر در ارتفاعات شمال شرق حوضه است. ارتفاع متوسط وزنی حوضه $2178/4$ متر برآورد شده است. در هر طبقه ارتفاعی مساحت حرکات رخداده برآورد و در (جدول ۹) ارایه شده است بیشترین حرکات در ارتفاع بیش از ارتفاع متوسط وزنی حوضه به وجود پیوسته است (شکل ۹).



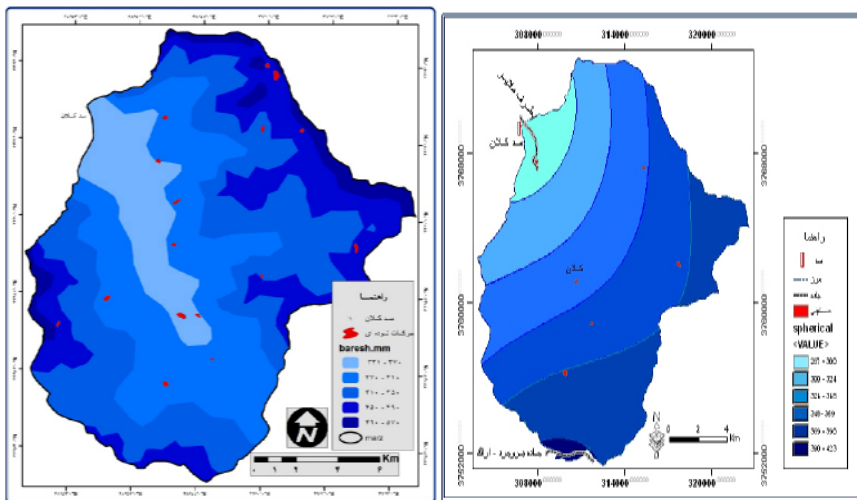
شکل (۹) نقشه طبقات ارتفاعی حوضه کلان ملایر

جدول (۹) مساحت زمین لغزش در طبقات ارتفاعی و محاسبه وزن هر سطح

طبقات ارتفاعی	مساحت واحد (Km ²)	مساحت به درصد	زمین لغزش رخداده (Km ²)	زمین لغزش رخداده به درصد	LNRF	Weight
۱۸۰۰-۱۹۰۰	۱۹۰۰۴۳۶	۰،۱	۰	۰۰	۰۰	۰
۱۹۰۰-۲۰۰۰	۲۰۷۰۰۳	۸،۶۴	۸۲۰	۱۱،۲۴	۱۰۱	۰
۲۰۰۰-۲۱۰۰	۵۴۲۴۴۹۹	۲۲،۶۴	۲۵۴۸	۳۴،۹۲	۳۰۱۴	۲
۲۱۰۰-۲۲۰۰	۶۶۳۹۰۳۹	۲۷،۷۱	۸۳۵	۱۱،۴۴	۱۰۰۳	۱
۲۲۰۰-۲۳۰۰	۵۶۹۵۰۳۳	۲۳،۷۸	۳۹۱	۵۰،۳۶	۰۰۴۸	۰
۲۳۰۰-۲۴۰۰	۲۷۷۲۳۸	۱۱،۳۷	۲۳۲۲	۳۱،۸۳	۲۰۸۶	۲
۲۴۰۰-۲۵۰۰	۱۰۰۹۰۷	۴،۲۱	۳۸۰	۵۰،۲۱	۰۰۴۷	۰
۲۵۰۰-۲۶۰۰	۳۳۶۷۱۱۹	۱،۴۱	۰	۰۰	۰۰	۰
۲۶۰۰-۲۷۰۰	۳۸۸۹۹۶	۰،۱۶	۰	۰۰	۰۰	۰
جمع	۲۳۹۵۹۰۱۴	۱۰۰	۷۲۹۶	۱۰۰		۰

بارش

فاکتورهای هیدرواقلیم مانند: بارش، دما از نظر ذوب و انجماد در وقوع زمین‌لغزش‌ها نقش مهمی ایفا می‌کنند. آستانه تأثیر عوامل مزبور بسته به ویژگی‌های مناطق متنوع می‌باشد. این عوامل به صورت افزایش فشار آب نفوذی و سطح آب زیرزمینی، افزایش بار دامنه، زیرشوابی و از بین بردن تکیه‌گاه‌های جانبی و زیرین دامنه‌ها می‌توانند به عنوان عامل مسبب و هم عنوان عامل محرك در وقوع زمین‌لغزش‌ها ایفا نقش نمایند. وسعت برآورد شده هر سطح با زمین‌لغزش رخداده در آن سطح در جدول (۱۰) ارائه شده است. ۶۱/۲۳ درصد از حرکات توده ای در سطح بارشی ۳۴۸-۳۹۰ میلی‌متر رخداده است (جدول ۱۰) و (شکل الف ۱۰ و ب).



شکل الف (۱۰) نقشه خطوط همباران

شکل الف (۱۰) نقشه خطوط همباران

جدول (۱۰) مساحت زمین لغزش در طبقات همباران و محاسبه وزن هر سطح

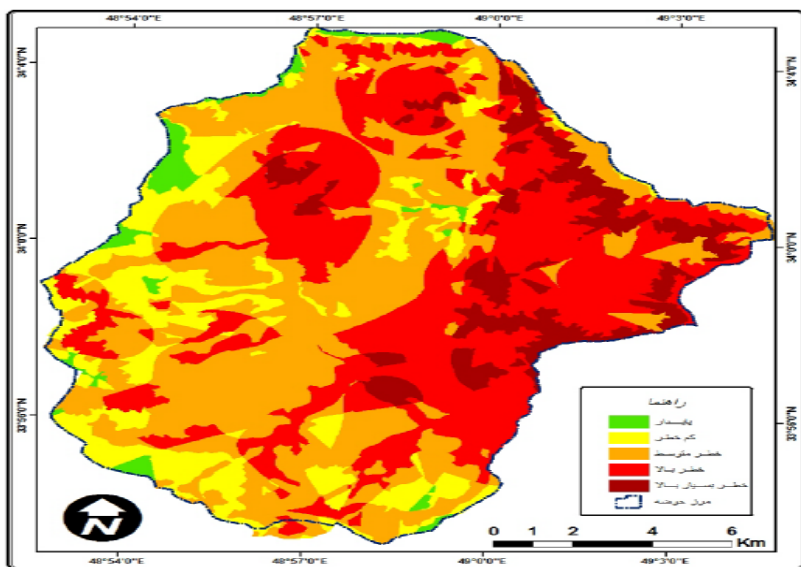
بارندگی (mm)	مساحت (Km ²) واحد	مساحت به درصد	مساحت زمین لغزش رخداده	مساحت زمین لغزش رخداده به درصد	Weight	LNRF
۳۳۱-۳۷۰	۲۸۷۳.۵	۱۲	۱۴۰۴.۵	۱۹.۲۵	۰.۹۶	۱
۳۷۰-۴۱۰	۷۴۸۰	۳۱.۲۱	۲۴۷۷	۳۳.۹۵	۱.۷۰	۲
۴۱۰-۴۵۰	۷۹۴۵	۳۳.۱۵	۷۱۱.۳	۹.۷۵	۰.۴۹	۰
۴۵۰-۴۹۰	۴۶۱۵.۵	۱۹.۰۶	۲۷۰۳.۲	۳۷.۰۵	۱.۸۵	۲
۴۹۰-۵۲۲	۱۰۴۵۰.۱۴	۴۰.۳۶	۰	۰	۰	۰
	۲۳۹۵۹.۱۴	۱۰۰	۷۲۹۶	۱۰۰		

نتیجه‌گیری

در تحقیق حاضر برای تعیین نواحی مستعد زمین لغزش و ناپایداری دامنه‌ها در حوضه سد کلان عوامل مؤثر مورد بررسی و مطالعه قرار گرفت و با استفاده از مدل LNRF میزان و ارزش تأثیر هریک تعیین شد. در خاتمه با تلفیق نقشه‌های وزنی با یکدیگر نقشه پهنه‌بندی



تهیه و نواحی مستعد حرکات توده‌ای تعیین گردید. با توجه به داده‌های حاصله چنین استنبط می‌شود که: از بین سازندها، واحدهای سنگی رسوبات آبرفتی و واحد فیلیت و اسلیت بهدلیل فرسایش‌پذیری زیاد مستعد وقوع زمین لغزش هستند. چرا که ضخامت آبرفت‌ها و قرار گرفتن آن‌ها بر روی شیسته‌ها و همچنین بهدلیل تجزیه بیوتیت‌ها در شیست و شبیب مناسب مستعد حرکات توده‌ای در منطقه هستند و از حساسیت بالایی برخوردارند. اغلب حرکات توده‌ای حوضه در نقاط نزدیک گسل رخداده است و رابطه معکوسی با فاصله گرفتن از گسل دارد. گسل‌های واقعه تا فاصله ۱۰۰۰ متری در اثر لرزه، درز و شکستگی‌هایی در سنگ‌ها ایجاد نموده‌اند که یکی از عوامل مؤثر در تسريع وقوع حرکات توده‌ای حوضه بهشمار آمده و بیشترین درصد ناپایداری‌ها را ایجاد نموده‌اند. در شبیه‌های ۲۰ تا ۳۰ درصد، بیشترین حرکات توده‌ای رخداده است، که موجب تولید انرژی تقل همراه با خاک‌های منطقه که از نوع رسی و مارنی می‌باشد و در اثر جذب آب به مرز پلاستیسیته رسیده‌اند موجب ناپایداری دامنه‌ها گردیده‌اند. در دامنه‌های روبه جنوب به علت ذوب سریع برف و بیخ رواناب ناشی از آن موجب حرکت سریع توده خاک به سمت پایین شده و در واحد فلات حوضه با وسعت زیاد و همراه با فعالیت انسان موجب ناپایداری دامنه شده است. به دلیل نفوذ آب در نزدیکی شبکه آبراهه‌ها تعداد لغزش‌ها بیشتر و با دورشدن از دامنه‌ها بهویژه، در فاصله ۲۰۰ متری شبکه آبراهه‌ها تشکیل گشته و با دورشدن از آبرهه تأثیر آن کاسته می‌شود. با نتایج به دست آمده از بررسی تراکم پوشش گیاهی نشان می‌دهد که تغییر کاربری اراضی که بهویژه کشت آبی و باغات مورد استفاده در منطقه موجب ناپایداری‌ها در این اراضی شده است. مراتع متراکم و نیمه متراکم در خاک‌های کم عمق تا نیمه عمیق و با بافت سیک تا متوسط گسترش دارند. که نقش مهمی در جذب و نفوذ آب در خاک‌های کم عمق را دارند بهویژه از اوایل بهار که به عنوان چراغاً مورد استفاده قرار می‌گیرند. در این شرایط ناپایداری دامنه‌ها تشید می‌شود. نتایج حاصله از تلفیق نقشه‌های تهیه شده و تهیه نقشه پهنه‌بندی و حرکات توده‌ای، (شکل ۱۱) نشان می‌دهد که بیشتر حرکات توده‌ای در منطقه با ناپایداری زیاد تا خیلی زیاد رخداده است.



شکل (۱۱) نقشه پهنه‌بندی بر حسب پایداری حرکات دامنه‌ای حوضه کلان

که با میزان وزن و ارزش هر یک از واحدها با استفاده از مدل استفاده با یکدیگر تطابق دارند. با توجه به داده‌های حاصله از بررسی‌های (جدول ۱۱) و نقشه پهنه‌بندی منطقه نتایج نشان می‌دهد که خطر وقوع لغزش در منطقه از ناپایداری متوسط تا زیاد قابل طبقه‌بندی می‌باشد.

جدول (۱۱) مساحت طبقات پایداری در حوضه کلان ملایر

ردیف	طبقه	مساحت هر طبقه	درصد طبقات
۱	پایدار	۶۴۲،۰۴	۲/۷
۲	ناپایدار کم	۳۶۱۷.۵	۱۵
۳	ناپایدار متوسط	۹۳۲۳.۹	۳۸/۷
۴	ناپایدار زیاد	۸۴۱۳.۷۸	۳۴/۹
۵	ناپایدار خیلی زیاد	۲۰۸۹.۷	۸/۷
	جمع	۲۴۰۸۶.۹۲	۱۰۰

همچنین بخش شرقی و جنوب‌شرقی حوضه بیشترین مناطق ناپایداری را به خود اختصاص داده و این امر به فرسایش شدیدی در خاک و حمل مواد توسط جریانات سطحی به مخزن سد می‌شود که این مر موجب کاهش عمر مفید سد می‌گردد. برای پیشگیری پیشنهاد می‌شود پایدارسازی دامنه‌ها با تغییر کاربری صحیح در دامنه‌ها، اجرای روش‌های تثبیت لغزش‌ها از جمله جنگل‌کاری، زهکشی مناسب، ایجاد کانال‌های تخلیه آب، جلوگیری از روش‌های آبیاری روی دامنه‌ها در منطقه انجام شود. از این موضوع به علاوه مقادیر (R^2) نشان می‌دهد که فاصله از گسل، فاصله از رود، شیب مهم‌ترین عوامل موثر در بروز حرکات توده‌ای منطقه است (جدول ۱۲).

جدول (۱۲) پارامترهای موثر در وقوع حرکات توده‌ای منطقه مورد مطالعه

	پیتوژی	فاصله از گسل	طبقات ارتفاعی	شیب	جهت شیب	طبقات همپاران	فاصله از رود	پوشش گیاهی
R2	.۰/۳۹۶	.۰/۹۲۶	.۰/۲۶۶	.۰/۷۱۸	.۰/۵۱۰	.۰/۱۷۸	.۰/۸۲۹	.۰/۳۶۹

بررسی‌های میدانی و صحرایی نتایج حاصله از مدل را بهخوبی تأیید می‌نماید و تا حدودی می‌توان چنین بیان نمود که مدل LNRF دارای کارآیی مناسبی است. که با نتایج حاصله از بررسی‌های (رنجب، ۱۳۹۱) (سرور، ۱۳۹۱) (شادر، ۱۳۹۰) (موسی‌پور، ۱۳۸۶) تا حد قابل قبولی مطابقت دارد لیکن پیشنهاد می‌شود جهت واستنجی آن در حوضه‌های دیگر نیز به کار گرفته و مقایسه انجام پذیرد.



منابع

- ۱- ایلدرومی علیرضا (۱۳۹۰)، «تحلیل مورفومتری زمین‌لغزش در حوضه آبخیز سد‌اکباتان و برآورد رسوب آن‌ها»، مجله علمی پژوهشی جغرافیا و برنامه‌ریزی، شماره ۳۷، سال شانزدهم، پاییز ۱۳۹۰، صص ۲۲-۱.
- ۲- پایگاه ملی داده‌های علوم زمین کشور، www.ndir.ir
- ۳- خضری، سعید؛ رostاستی، شهرام؛ رجایی، عبدالحمید (۱۳۸۸)، «پهنه‌بندی و تحلیل سلولی نایابی‌دار دامنه‌ای در بخش مرکزی حوضه آبخیز رودخانه ذاب»، نشریه دانشکده علوم انسانی و اجتماعی جغرافیا دانشگاه تبریز، شماره ۲۲، سال دوازدهم، سال ۱۳۸۵، صص ۱۴۳-۱۶۷.
- ۴- رحمتی، مریم، (۱۳۹۱)، «پهنه‌بندی مورفوژنتیک و ارتباط آن در فراوانی زمین‌لغزش در مسیر آزادراه خرم‌آباد-پل زال»، پایان‌نامه کارشناسی ارشد، دانشکده جغرافیا، دانشگاه تهران.
- ۵- رostاستی، شهرام؛ علیزاده، راحله (۱۳۹۱) «پهنه‌بندی خط‌نایابی زمین‌لغزش در حوزه صوفی چای (مراغه) با استفاده از روش آنالیگان»، فصلنامه علمی-پژوهشی فضای جغرافیایی، شماره ۳۹، سال دوازدهم، پاییز ۱۳۹۱، صص ۱۷-۳۵.
- ۶- رنجبر، محسن؛ معمارافتخاری، محمد (۱۳۹۱) «پهنه‌بندی پدیده لغزش با استفاده از روش LNRF در جاده هراز (از امازاده هاشم تا لاریجان)»، جغرافی (فصلنامه پژوهشی انجمن جغرافیای ایران)، شماره ۳۳، سال دهم، تابستان ۱۳۹۱، صص ۱۲۸-۱۰۷.
- ۷- سرور، جلیل‌الدین؛ رمضانی گورابی، بهمن؛ ادهمی، مریم (۱۳۹۱) «پهنه‌بندی حرکت‌های توده‌ای از طریق بررسی مدل LNRF مطالعه موردنی: منطقه نیر به سراب»، فصلنامه جغرافیایی طبیعی، شماره ۱۶، سال پنجم، تابستان ۱۳۹۱، صص ۲۴-۱۱.
- ۸- شادر، صمد؛ یمانی، مجتبی؛ نمکی، محمد (۱۳۹۱) «پهنه‌بندی خطر زمین‌لغزش با استفاده از مدل‌های ارزش اطلاعاتی»، تراکم سطح و LNRF در حوضه چالکرود»، شماره ۱، سال ۱۳۹۰، صص ۴۰-۴۷.
- ۹- شریعت جعفری، م. (۱۳۷۵)، «زمین‌لغزش مبانی و اصول پایداری ثسب‌های طبیعی»، انتشارات سازه.

- ۱۰- گزارش زمین‌شناسی ملایر (۱۳۷۹)، «نقشه زمین‌شناسی به مقیاس ۱:۱۰۰۰۰۰»، سازمان زمین‌شناسی کشور.
- ۱۱- گزارش سد کلان ملایر (۱۳۸۳)، «مطالعات مرحله دوم، گزارش فنی و تأسیسات وابسته مهندسان مشاور بند آب»، نشریه شماره ۴۳۷، سازمان آب منطقه‌ای همدان.
- ۱۲- متولی، صدرالدین (۱۳۹۰)، «شناسایی عوامل مؤثر بر موقعیت حرکت‌های توده‌ای در منطقه دو هزار تنکابن»، *فصلنامه پژوهشی اکوسیستم‌های طبیعی ایران*، شماره ۴، تابستان ۱۳۹۰، ۸۱-۷۰.
- ۱۳- موسی‌پور، محمد (۱۳۸۶)، «ارزیابی مدل LNRF و ارزش اطلاعاتی و تراکم سطح در پهنه‌بندی خطر زمین لغزش حوضه آبخیز جلیان (تنکابن)»، پایان‌نامه کارشناسی ارشد، دانشگاه آزاد اسلامی واحد علوم تحقیقات تهران.
- ۱۴- یعقوبی ماشیمانی، حسین (۱۳۸۵)، «بررسی حرکات توده‌ای با تأکید بر اقلیم در روستاها»، پایان‌نامه کارشناسی ارشد، دانشکده تحصیلات تکمیلی، دانشگاه آزاد اسلامی واحد رشت.
- 15- Gupta, R.P, Joshi, B.C. (1989), “Landslide Hazard Zoning Using the GIS Approach-A Case Study from the Ramganga Catchment Himalayas”, Department of Earth Sciences, University of Roorkee.
- 16- Komac, M. (2006), “A Landslide Susceptibility Model Using the Analytical Hierarchy Process Method and Multivariate Statistics in perialpine Slovenia”, *Geomorphology*, 74: 17–28
- 17- Naderi, F., Naseri, B, Karimi, H, Habibi e Bibalani, Gh., (2010), “Efficiency Evaluation of Different Landslide Susceptibility Mapping Method (Case study: Zangvan Watershed, Ilam Province)”, First International Conference of Soil and Roots Engineering Relationship (LANDCON1005), Ardebil Province, Iran.
- 18- Sharma R.H. Narendra.M.SH, (2008), “Rain Induced Shallow Landslide Hazard Assessment for Ungauged Catchments”, In *Hydrogeology*, Vol 16, pp 871-877.
- 19- Yelcin, A., (2008), “GIS Based Landslide Susceptibility Mapping Using Analytical Hierarchy Process and Bivariate Statistics in Ardesen (Turkey), Comparisons of Result and Confirmation”, *Catena*, 72: (2008), 1- 12.